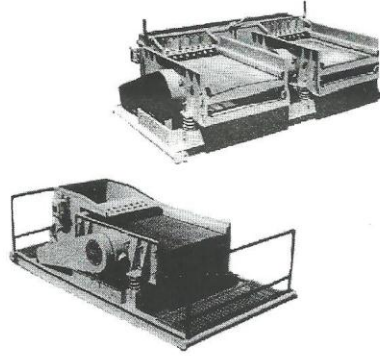


## تحديد المؤشرات التصميمية المنطقية ووضع الاحتمالات التصميمية لفوهات دخول وخروج سائل الحفر في فواصل الرمل والطيني

مقدمة :

تستخدم فواصل الرمل والطيني مع معدات تنظيف سائل الحفر ، حيث يخرج سائل الحفر من البئر ، محملاً بفتاتات الحفر ، ذات الكتل والأحجام المختلفة ، كذلك محملاً بالغازات المنحلة المتسربة من بعض الطبقات المحفورة . وكلما قلت كمية المواد الصلبة في سائل الحفر كلما ازدادت فعالية الحفر ( سرعة الحفر ، عمر المعدات السطحية والجوفية ) لذلك يجب تأمين معدات تنظيف كما موضحة بالشكل رقم (١) [1].



الشكل (١)

تؤمن تنظيف سائل الحفر من جميع الشوائب الصلبة والغازية وتعيده إلى مواصفاته الأولية ، للتمكن من استخدامه في عمليات حفر الآبار وفق المتطلبات التكنولوجية لعمليات الحفر .

تتم عملية تنظيف سائل الحفر وفق المراحل التالية :

- ١- مرحلة فصل الغاز إذا احتوى الغاز على كمية كبيرة من الغاز باستخدام فواصل الغاز .
- ٢- فصل الفتاتات الصلبة التي تزيد قياساتها عن ١٧٥ ميكرو متر باستخدام الشبكات الهزازة .

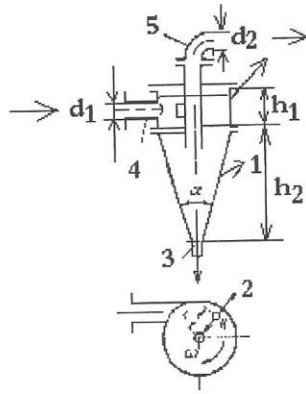
٣- فصل الفتاتان الصلبة التي تتراوح قياساتها بين ١٧٥ - ٣٠ ميكرو متر باستخدام فواصل الرمل والطيني . تركيب جميع هذه الأجهزة والمعدات على خزانات ترسيب ومعالجة سائل الحفر ماعدا الشبكات الهزازة وفواصل الغاز .

إن التقدم العلمي في السنوات الماضية توصل إلى تصميم فواصل الرمل والطيني إلى مستوى جيد في معالجة سائل الحفر ، وهذا يعني أن هناك بقايا من الطمي والرمل تتواجد في سائل الحفر المعالج ، ولدى دراسة هذه الآليات تبين أن أقطار فتحات دخول وخروج سائل الحفر المعالج من الرمل والطيني لم تكن متوافقة مع التدفق عند ضغوط محددة لعمل الفاصل بوثوقية عالية ويقوم بالفرز بشكل يعيد سائل الحفر إلى مواصفاته الأولية . مما سبق يمكن أن نحدد هدف البحث :

هدف البحث :

١- تحديد العلاقة التي تربط بين قطر فتحة دخول سائل الحفر إلى الفاصل وقطر فتحة خروج السائل المعالج من الفاصل عند ضغط وتدفق محددين وقطر ثابت للفاصل.

١- الدراسة النظرية التصميمية لفاصل الرمل والطيني :



الشكل (٢)

١-١ المخطط التصميمي للفاصل :

في هذا البحث تم انتقاء نموذج للفاصل كما هو مبين على الشكل (٢) الموضح عليه المسقط الأمامي والأفقي ، يتألف هذا الفاصل من فتحة دخول سائل الحفر  $d_1$  والقطر الداخلي للجزء الاسطواني للفاصل  $D_h$  ومخروط ترسيب الرمل

والطيني (١) وفتحة خروج الرمل والطيني (٣) وفتحة خروج سائل

الحفر المعالج (٥).

### ١-٢ مبدأ عمل الفاصل :

يدخل سائل الحفر بعد خروجه من البئر ومروره على فاصل الغاز والشبكة الهزازة إلى فاصل الرمل من فتحة الدخول (١) بضغط  $P_i$  حيث يلتف على الجدار الاسطواني (٢) مشكلاً قوى طاردة مركزية في حبيبات الرمل والطيني التي تسبب توجه الحبيبات (الفتاتات الصلبة) إلى الجدران ، يدور السائل حول محور المخروط الذي يتناقص قطره باتجاه الأسفل ، وهذا يساعد على زيادة سرعة سقوط الحبيبات الصلبة على الجدران وتتجمع في أسفل المخروط ليتم إبعادها عن طريق فتحة الخروج (٤) أما السائل المنظف فيخرج من فتحة الخروج العلوية (٥) .

### ١-٣ المؤشرات التقنية والتصميمية لفواصل الرمل والطيني :

يستخدم في حساب السعة التدفقية للفواصل المستخدمة في فصل الرمل والطيني عن سائل الحفر ، العلاقة التجريبية التالية [4] :

$$(١) \dots\dots Q_h = K_1 d_1 d_2 D_h \sqrt{P_i}$$

حيث :

$Q_h$  : السعة التدفقية للفاصل (L/sec)

$K_1$  : معامل تجريبي يساوي 0,12 .

$d_1$  : قطر فتحة دخول سائل الحفر إلى الفاصل ( cm )

$d_2$  : قطر فتحة خروج سائل الحفر النظيف من الفاصل ( cm )

$D_h$  : القطر الداخلي للجزء الأسطواني من الفاصل ( cm )

$P_i$  : الضغط عند فتحة الدخول ( MPa )

من خلال هذه العلاقة يمكن تحديد قيمة قطر فتحة خروج سائل الحفر المعالج  $d_2$  كتابع لقطر دخول سائل الحفر  $d_1$  عند قيم متغيرة للتدفق  $Q_h$  والضغط  $P_i$  والقطر الداخلي للجزء الأسطواني  $D_h$  . من العلاقة :

$$(٢) \dots\dots\dots d_2 = Q_h / K_1 d_1 D_h \sqrt{P_i}$$

من خلال الدراسات السابقة التي تمت في مجال تصميم فواصل الرمل والطيني تم التوصل إلى مجالات في تحديد قيم  $d_1$  و  $d_2$  [4] هذه المجالات نتجت عن التجربة والتي هي :

- قطر فتحة دخول سائل الحفر إلى الفاصل :  $d_1 = (0,125 - 0,25) D_h$
- قطر فتحة خروج سائل الحفر المعالج من الفاصل :  $d_2 = (0,25 - 0,5) D_h$
- قيمة الضغط عند مدخل الفاصل :  $P_i = 0,4 - 0,5$  ( MPa)

من خلال قيم المجالات لـ  $d_1$  و  $d_2$  نجد أن أكبر قيمة لـ  $d_1$  تساوي أصغر قيمة لـ  $d_2$  وهذا يعني أن قيم  $d_2$  يجب أن تكون مساوية لـ  $d_1$  أو أكبر منها حتى الضعف.

نلاحظ من خلال مجالات القيم لـ  $d_1$  و  $d_2$  أنه من الصعب تحديد قيمة  $d_2$  والمتوافقة مع التدفق  $Q_h$  والضغط  $P_i$  والقطر الداخلي للفاصل  $D_h$  وأن عدم تحديد قيمة  $d_2$  المناسب لـ  $d_1$  (زيادة أو نقصان) يؤدي إلى خفض درجة فصل جزيئات الرمل والطيني عن السائل.

لذلك من أجل التوصل إلى قيم متوافقة مع بعضها لـ  $d_1$  و  $d_2$  عند قيم محددة لـ  $P_i$  و  $Q_h$  و  $D_h$  تم وضع نموذج رياضي باستخدام الحاسب يعطي قيمة  $d_2$  عند أي قيمة لـ  $d_1$  و  $P_i$  و  $Q_h$  و  $D_h$  .

#### ٤-١- النموذج الرياضي باستخدام الحاسب :

النموذج الرياضي هو عبارة عن برنامج ( حسب المخطط الخوارزمي الموضح بالملحق ) حيث أدخل في هذا البرنامج المعادلة ( ٢ ) التي توضح علاقة الربط بين  $d_1$  مع قيم المتغيرات الأخرى والتي حددت قيمها من الدراسات التصميمية الواردة في المراجع المتخصصة [ 3,4,5,6 ] .

وقيم هذه المتغيرات ضمن المجالات :

$$P_i = (0,2 - 0,5) \text{ (MPa)}$$

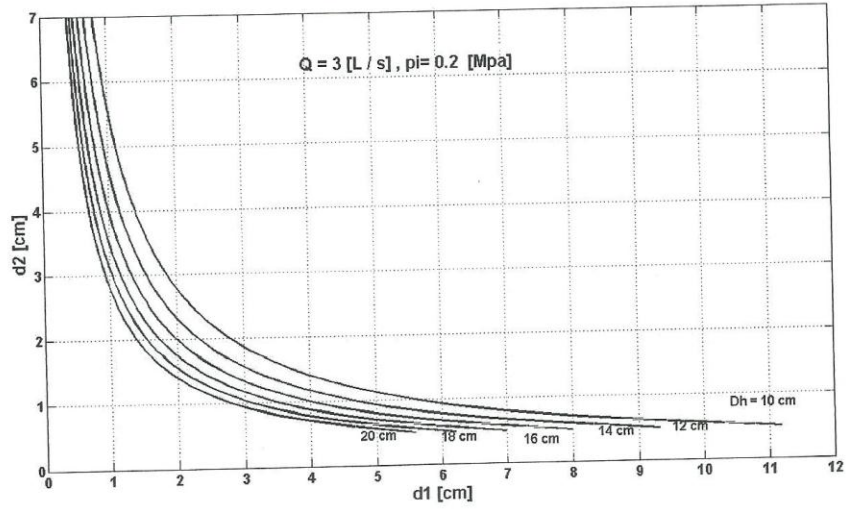
$$Q_h = (3 - 12) \text{ L / sec}$$

$$D_h = (10 - 20) \text{ cm}$$

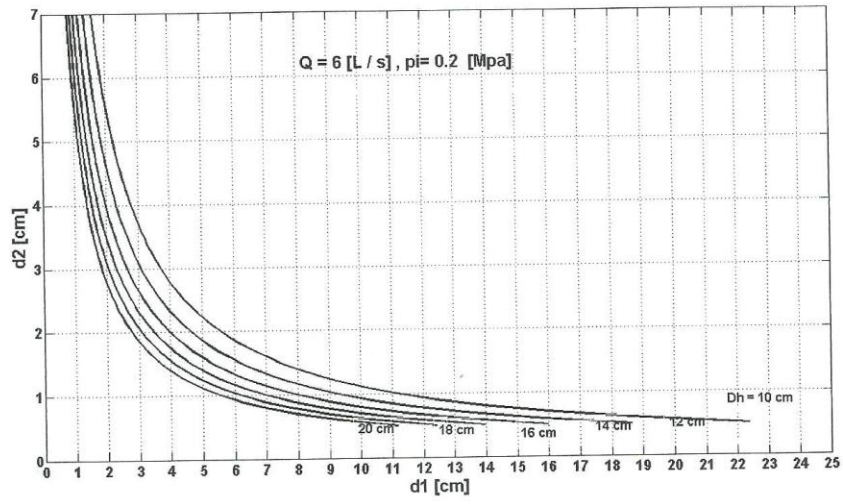
$$K_1 = 0,12$$

بعد إدخال القيم السابقة إلى البرنامج تم الحصول على المخططات [16.....2,1] عند قيم ثابتة لـ  $P_i$

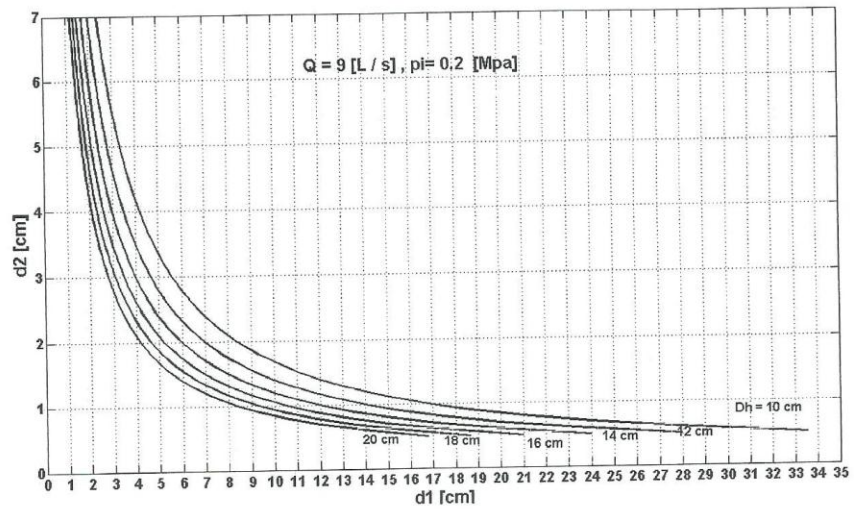
و  $Q_h$  .



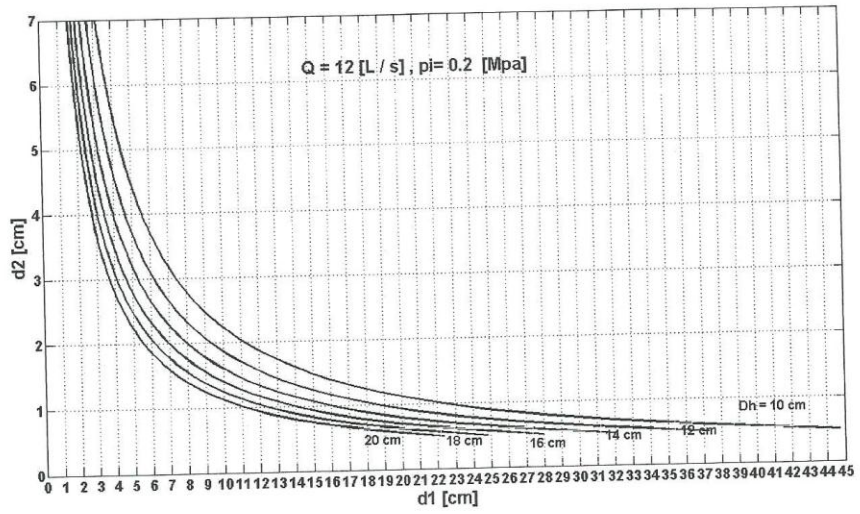
مخطط رقم (1)



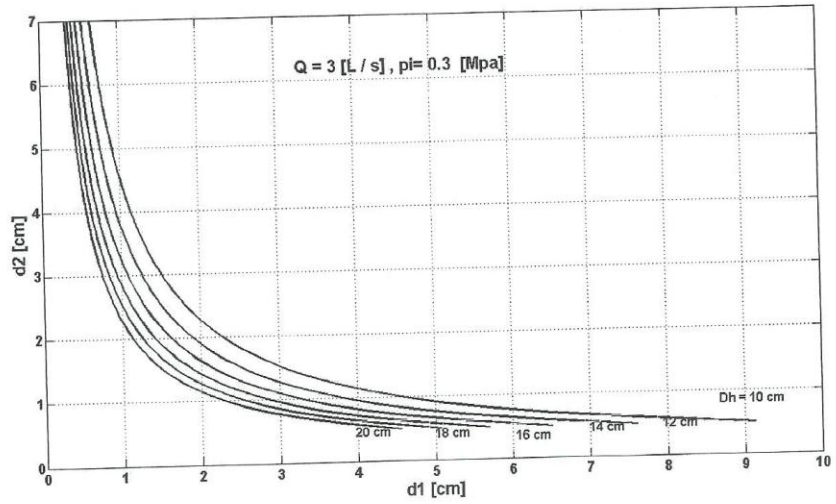
منظط رقم (٢)



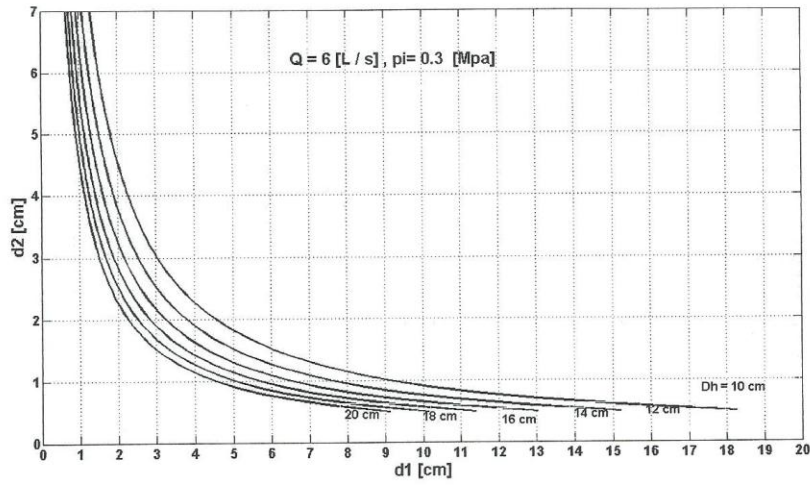
منظط رقم (٣)



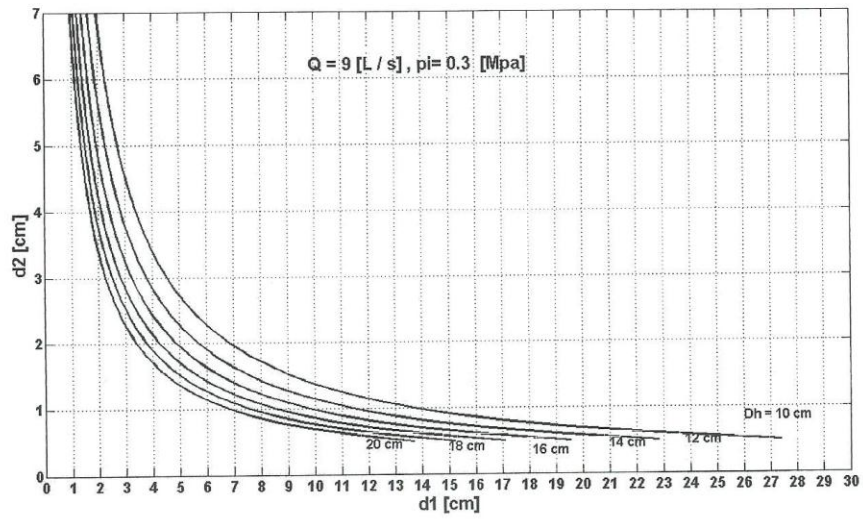
مخطط رقم (٤)



مخطط رقم (٥)

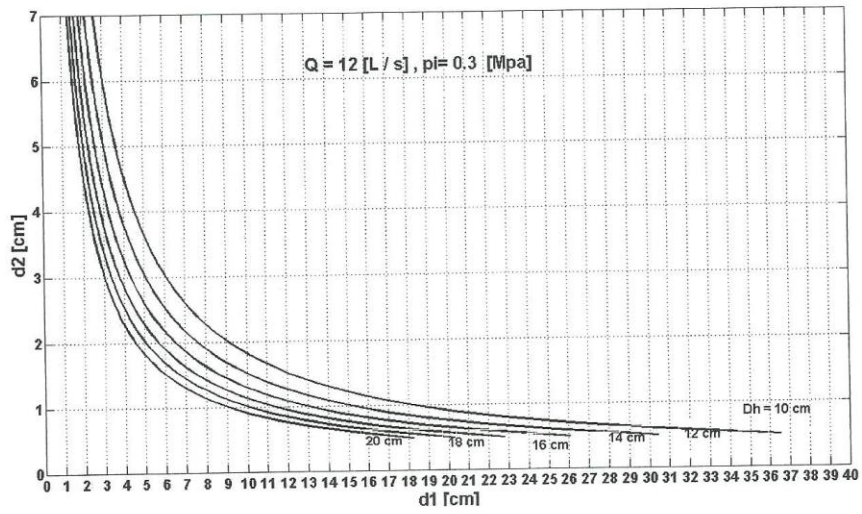


مخطط رقم (٦)

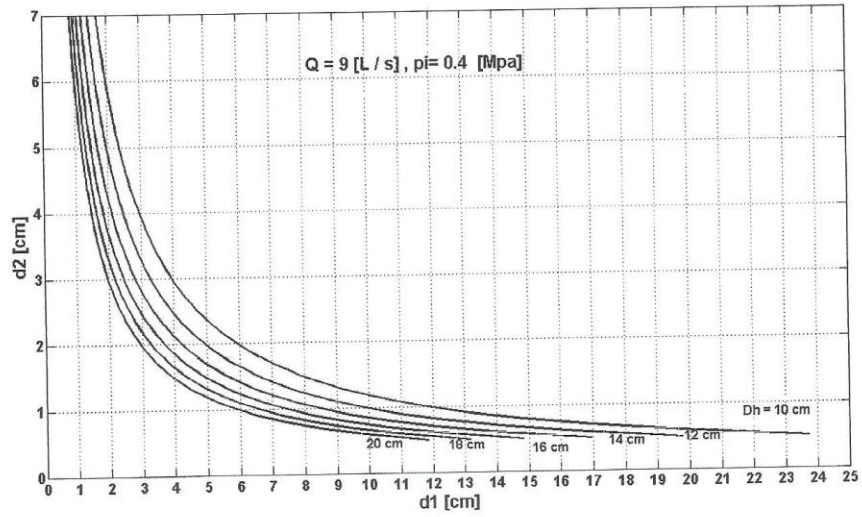


مخطط رقم (٧)

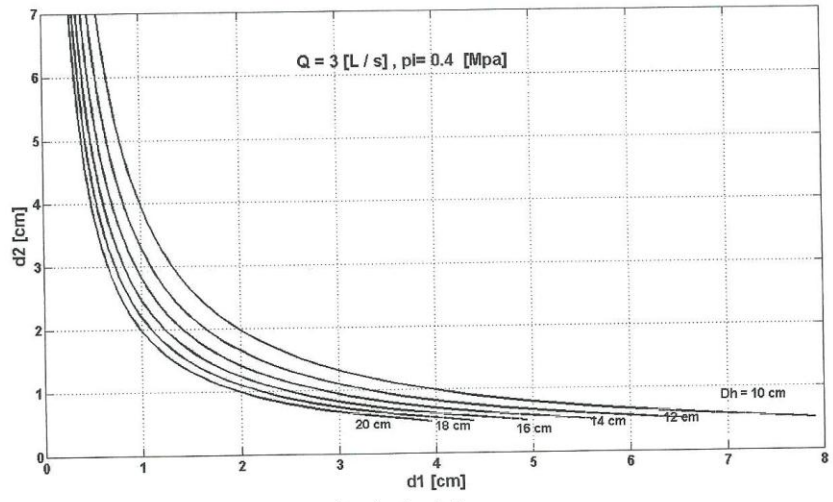




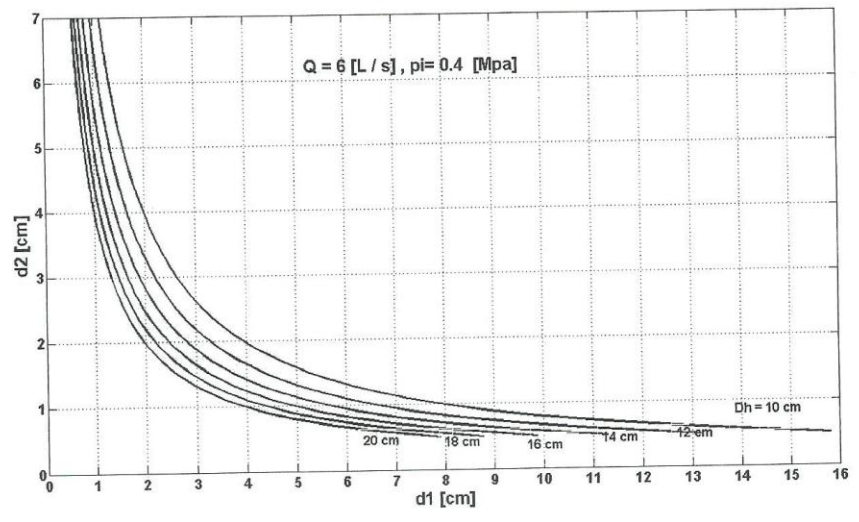
مخطط رقم (٨)



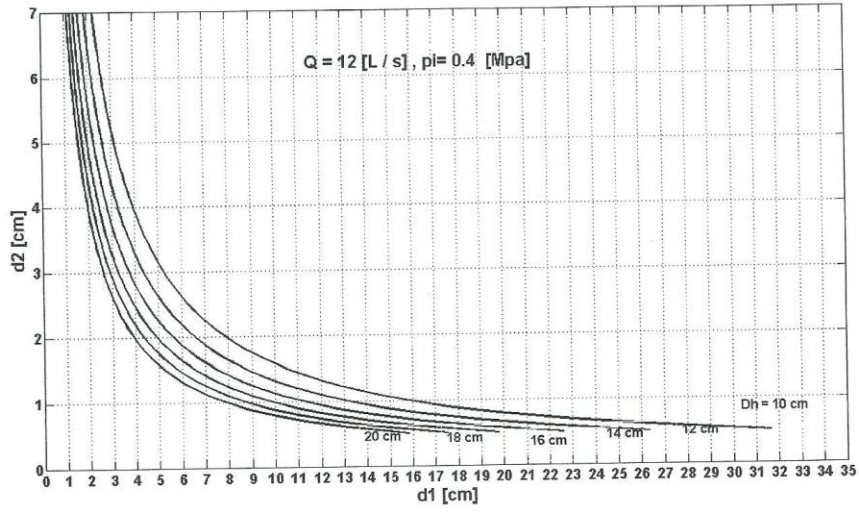
مخطط رقم (٩)



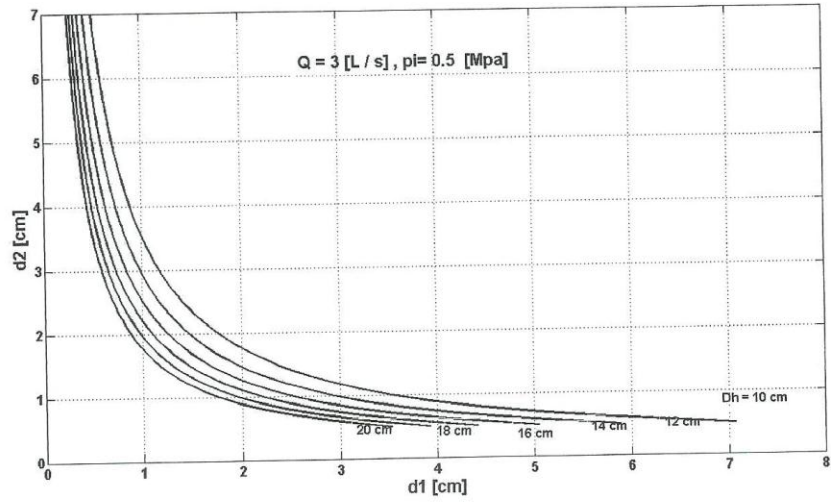
مخطط رقم (١٠)



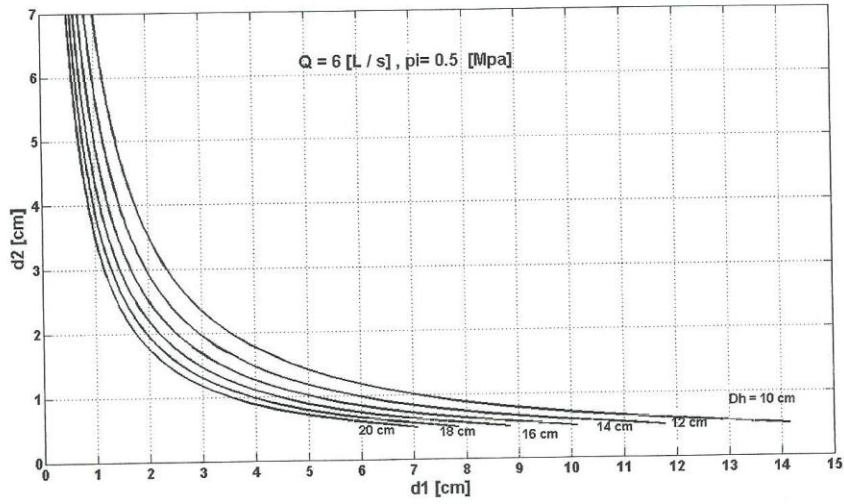
مخطط رقم (١١)



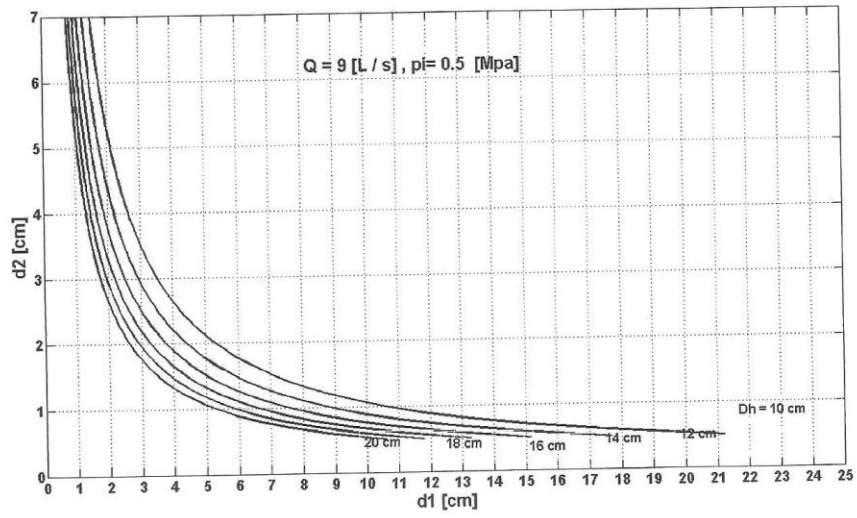
مخطط رقم (١٢)



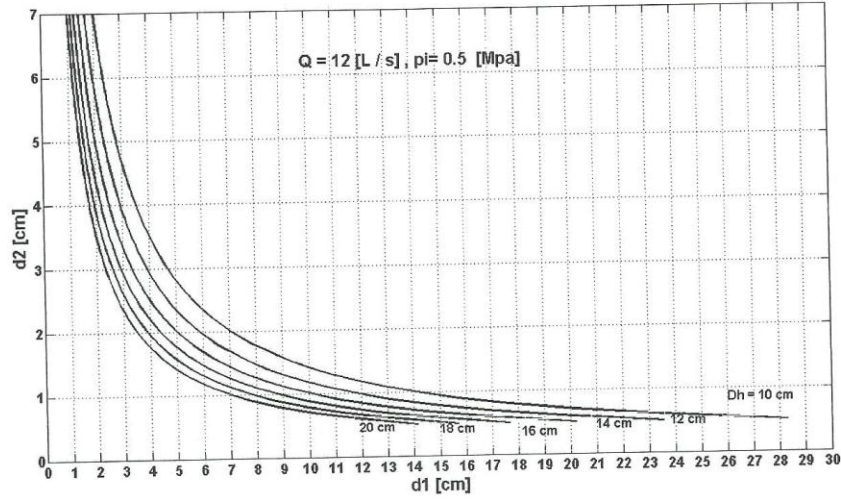
مخطط رقم (١٣)



مخطط رقم (١٤)



مخطط رقم (١٥)



مخطط رقم (١٦)

٢- تحليل ودراسة المخططات [16..2,1] الناتجة عن البرنامج الرياضي :

من خلال دراسة وتحليل هذه المخططات تم تحديد مجالات قيم  $d_1$  و  $d_2$  اعتماداً على أن

$$2.d_1 \geq d_2 \geq d_1$$

حسب الدراسات التجريبية السابقة التي تمت لتحديد مجالات قيم هذان المتغيران والجدول التالي يوضح

مجالات قيم كل من  $d_1$  و  $d_2$  اعتماداً على الضغط والتدفق المأخوذة من

المخططات وبمعرفة قطر فاصل الطمي  $D_{11}$  يمكن من خلال المخططات تحديد قيمة  $d_2$  بدقة تامة بعد

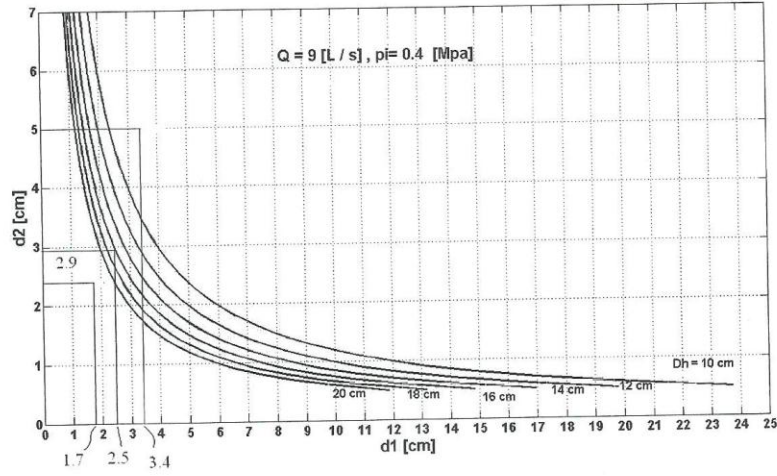
معرفة قطر فتحة الدخول  $d_1$  .

التدفق ( L / S )	ضغط سائل الحفر ( MPa )			
	0,2	0,3	0,4	0,5
3	d <sub>1</sub> =1,2-2,35 d <sub>2</sub> = 1,5- 3,3	d <sub>1</sub> = 1,1-2,1 d <sub>2</sub> = 2,1 - 3	d <sub>1</sub> = 1 - 2 d <sub>2</sub> = 2 - 2,8	d <sub>1</sub> = 0,9-1,9 d <sub>2</sub> = 1,8-2,8
6	d <sub>1</sub> =1,7-3,75 d <sub>2</sub> =3,75-5,5	d <sub>1</sub> = 1,5-3 d <sub>2</sub> = 3-4,2	d <sub>1</sub> = 1,4-2,8 d <sub>2</sub> = 2,8-4	d <sub>1</sub> = 1,3-2,6 d <sub>2</sub> = 2,6-4,7
9	d <sub>1</sub> =2,1-4,1 d <sub>2</sub> = 2 - 5,7	d <sub>1</sub> = 1,8-3,6 d <sub>2</sub> = 3,6-5,2	d <sub>1</sub> = 1,7-3,4 d <sub>2</sub> = 2,4 - 5	d <sub>1</sub> = 1,6-3,2 d <sub>2</sub> = 3,2-4,5
12	d <sub>1</sub> =2,25-4,7 d <sub>2</sub> =3,25-6,5	d <sub>1</sub> =2,1-4,25 d <sub>2</sub> = 3 - 6	d <sub>1</sub> = 2 - 4 d <sub>2</sub> = 4-5,6	d <sub>1</sub> = 1,85-3,7 d <sub>2</sub> = 3,7-5,3

جدول رقم (١)

تحديد مجالات قيم d<sub>1</sub> و d<sub>2</sub>

ومثال على ذلك، لنعتبر ضغط سائل الحفر ( MPa ) 0,4 والتدفق ( L / S ) Q = 9  
 وقطر فاصل الرمل والطيني ( cm ) D<sub>n</sub> = 16 وقطر فتحة دخول السائل الحفر إلى فاصل الطمي  
 d<sub>1</sub> = 2,5 ( cm ) فيمكن تحديد قيمة d<sub>2</sub> بدقة باستخدام المخطط التالي :



كما هو مبين على المخطط فإن المجال العام لقيم  $d_1$  و  $d_2$  ، حيث أن قيمة  $d_2$  المناسبة لقطر فتحة الدخول  $d_1$  المفروضة والتي تساوي إلى  $d_2=2,9$  [cm] .

إن طريقة استخدام المخططات يعتمد الأسلوب التالي:

نحدد خطان أفقيان على محور  $d_2$  ، الأول قيمته تساوي  $d_1=d_2$  والثاني  $d_2=2d_1$  وضمن هذا المجال يتم اختيار قيمة  $d_2$  اعتماداً على  $d_1$  و  $D_h$  .

### ٣- الاستنتاجات والمقترحات:

نتيجة للدراسة التي تمت في متن البحث وضعت الاستنتاجات والاقتراحات التالية:

١- تسمح المخططات البيانية الناتجة أن نختار قيمة  $d_2$  بدقة تامة لأي قيمة ل  $d_1$  و  $D_h$  عند ضغط وتدفق محددين .

٢- تم تحديد مجالات قيم  $d_1$  و  $d_2$  بدقة أكبر من المجالات الواردة في الدراسات السابقة.

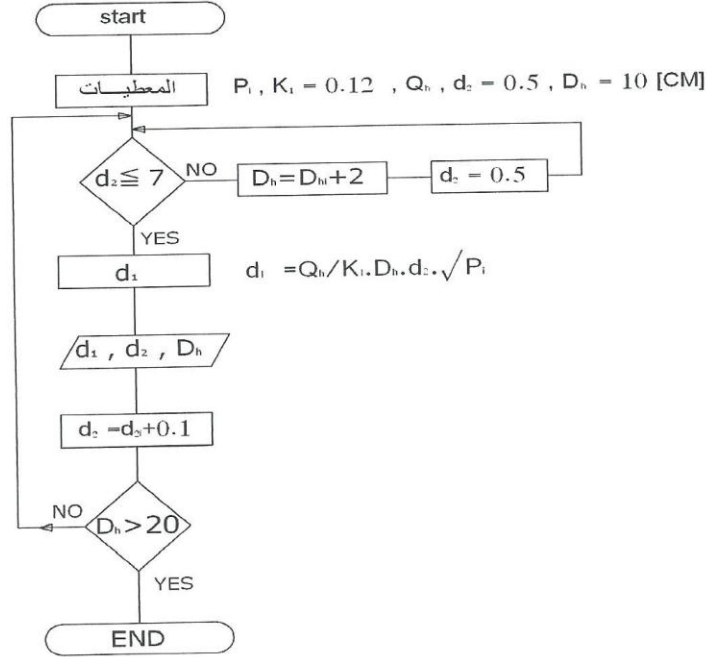
٣- أثبت تطبيقاً باستخدام الحاسوب أنه عند ضغط وتدفق ثابتان وقيمة محددة ل  $d_1$  يمكن تحديد عدة قيم ل  $d_2$  عند قيم مختلفة ل  $D_h$  .

٤- بينت الدراسة التطبيقية باستخدام الحاسوب أن قيمة فتحة دخول سائل الحفر إلى فاصل الرمل والطيني لا يمكن أن تكون أكبر من  $4,25 \text{ [cm]}$  مهما كانت قيمة الضغط أو التدفق أو قطر فاصل الرمل والطيني  $D_h$ .

٥- تقترح دراسة تأثير قطر فتحة دخول سائل الحفر  $d_1$  وقطر فاصل الرمل والطيني  $D_h$  والتدفق والضغط على قطر فتحة خروج الرمل والطيني  $d_3$  من أسفل فاصل الرمل والطيني.

٦- تصنع نموذج حقيقي للفاصل ووضعه في الاستثمار لإثبات فعاليته من خلال زيادة دقة تنظيف سائل الحفر من الرمل والطيني.

#### ٤- المخطط الصندوقي للبرنامج :





## المراجع المستخدمة في البحث

### المراجع باللغة العربية :

- ١- د. حديد ، محمود- ميكانيك آلات الحفر والإنتاج (٢) القسم النظري منشورات جامعة البعث 2010-2011 ، 321 صفحة .
- ٢- د. حديد ، د . الجوهري - ميكانيك آلات الحفر والإنتاج (٢) القسم العملي منشورات جامعة البعث 1996-1997 ، 158 صفحة .

### المراجع باللغة الروسية :

- ٣- ايلسكي ، آ.ي شميدات أ.ب 1989 آلات الحفر ومعداتها ، موسكو نيدرا ، 395 صفحة .
- ٤- باغراموف ، ر ، أ ، آلات الحفر ومجاميعها 1988 ، موسكو ، نيدرا . 500 صفحة .

### المراجع باللغة الانكليزية :

- 5- Cholet . h . 2000 . Well production practical handbook .  
editions technip , france , 540 page .
- 6- Ngvyen . j . p . 1996 . drilling oil and gas filed development  
teqniques . edition technip , france , 367 page .